

# 1 Теоретическая часть

В минимально-инвазивной роботизированной хирургии возникает проблема с фильтрацией данных о состоянии тканей: результаты должны быть достаточно точными и при этом расчёты необходимо производить в реальном времени. Joshua B. Gafford в статье 'Real-Time Parameter Estimation of Biological Tissue Using Kalman Filtering' предлагает решать эту задачу с помощью различных фильтров Калмана (Extended, Unscented and Adaptive Fading Extended). В данной работе рассматривается применение к той же модели кубатурного фильтра Калмана (Cubature Kalman Filtering, CKF) и фильтра частиц (Particle Filter, PF) с bootstrap.

## 1.1 Постановка задачи

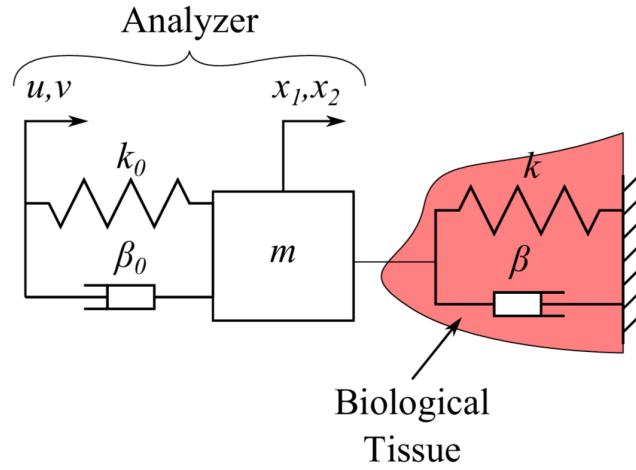


Рис. 1: Модель взаимодействия инструмент — ткань, рассмотренная статье

В качестве модели вязкопластичной ткани выбрана модель Кельвина — Фойгта (Kelvin — Voight) с параметрами упругости (stiffness)  $k$  и вязкости (damping)  $\beta$ , а инструмент представлен как массивная система с пружиной и амортизатором (mass-spring-damper system) с известными параметрами: массой  $m$ , коэффициентом упругости (spring constant)  $k_0$  и коэффициентом затухания (damping coefficient)  $\beta_0$ . Внешнее воздействие на систему моделируется как известные сдвиг  $u(t)$  и скорость  $\dot{u}(t)$ .

$$\begin{cases} m\ddot{x}(t) = \underbrace{k_0(u(t) - x(t)) + \beta_0(\dot{u}(t) - \dot{x}(t))}_{\text{инструмент}} + \underbrace{(-kx(t) - \beta\dot{x}(t))}_{\text{биологическая ткань}} \\ F(t) = k_0(x(t) - u(t)) \end{cases} \quad (1)$$

Координата  $x(t)$  - ненаблюдаемое состояние системы, а доступные наблюдения - сила взаимодействия между инструментом и тканью  $F(t)$ .

## 1.2 Уравнение динамики и модель наблюдений

Введём следующие обозначения:

$$\begin{aligned}x_{1,t} &= x_1(t) = x(t), & x_{2,t} &= x_2(t) = \dot{x}(t) \\k_t &= k(t) = k = Const, & \beta_t &= \beta(t) = \beta = Const \\y_t &= F(t)\end{aligned}$$

Тогда если  $X_t = [x_{1,t}, x_{2,t}, k_t, \beta_t]^T$  - расширенный вектор состояний, а  $Y_t = [y_t]$  - вектор наблюдений, то систему (1) можно переписать в следующем виде:

$$\begin{cases} dX_t = F_t(X_t)dt + \hat{Q}dW_t \\ Y_t = h_t(X_t) + R\mathcal{V}_t \end{cases} \quad (2)$$

где  $X_0 \sim \mathcal{N}(\hat{X}_0, \hat{P}_0)$ ,

$$F_t(X_t) = F_t\left(\begin{bmatrix} x_{1,t} \\ x_{2,t} \\ k_t \\ \beta_t \end{bmatrix}\right) = \begin{bmatrix} x_{2,t} \\ \frac{1}{m} [k_0(u(t) - x_{1,t}) + \beta_0(\dot{u}(t) - x_{2,t}) - k_t x_{1,t} - \beta_t x_{2,t}] \\ 0 \\ 0 \end{bmatrix},$$

$$h_t(X_t) = k_0(x_{1,t} - u(t)),$$

$$\hat{Q} = \begin{bmatrix} 0 & 0 & 0 & 0 \\ 0 & q & 0 & 0 \\ 0 & 0 & 0 & 0 \\ 0 & 0 & 0 & 0 \end{bmatrix},$$

$W_t$  - стандартный винеровский процесс,

$\mathcal{V}_t$  - последовательность н.о.р.с.в. из  $\mathcal{N}(0, 1)$ ,

$\{X_0, W_t, \mathcal{V}_t\}$  - независимы в совокупности.

Дискретизируя систему (2) методом Эйлера — Муруямы с шагом  $\Delta t$ , получим:

$$\begin{cases} X_t = f_t(X_{t-1}) + Q\mathcal{W}_t \\ Y_t = h_t(X_t) + R\mathcal{V}_t \end{cases} \quad (3)$$

где

$$f_t(X_{t-1}) = X_{t-1} + F_{t-1}(X_{t-1})\Delta t =$$

$$= \begin{bmatrix} x_{1,t-1} + x_{2,t-1}\Delta t \\ x_{2,t-1} + \frac{\Delta t}{m} [k_0(u(t-1) - x_{1,t-1}) + \beta_0(\dot{u}(t-1) - x_{2,t-1}) - k_{t-1}x_{1,t-1} - \beta_{t-1}x_{2,t-1}] \\ k_{t-1} \\ \beta_{t-1} \end{bmatrix},$$

$\mathcal{W}_t$  - н.о.р.с.в. из  $\mathcal{N}(0, I_4)$ ,

$$Q = \hat{Q}\sqrt{\Delta t}.$$

Также в статье показано, что в качестве подающей на вход функции  $u(t)$  можно взять  $A \sin(\omega t)$ .

### 1.3 СКФ

Шаг прогноза:

$$\check{X}_t = \int_{R^N} a_t(x) \mathcal{N}(x, \bar{X}_{t-1}, \bar{k}_{t-1}) dx \quad (4)$$

$$\check{k}_t = \int_{R^N} a_t(x) a_t^T(x) \mathcal{N}(x, \bar{X}_{t-1}, \bar{k}_{t-1}) dx - \check{X}_t \check{X}_t^T + b_t b_t^T \quad (5)$$

Шаг коррекции:

$$\check{Y}_t = \int_{R^N} A_t(x) \mathcal{N}(x, \check{X}_t, \check{k}_t) dx \quad (6)$$

$$\check{\kappa}_t = \int_{R^N} A_t(x) A_t^T(x) \mathcal{N}(x, \check{X}_t, \check{k}_t) dx - \check{Y}_t \check{Y}_t^T + B_t B_t^T \quad (7)$$

$$\check{\mu}_t = \int_{R^N} x A_t(x) \mathcal{N}(x, \check{X}_t, \check{k}_t) dx - \check{X}_t \check{Y}_t^T \quad (8)$$

$$\bar{X}_t = \check{X}_t + \check{\mu}_t \check{\kappa}_t^{-1} (Y_t - \check{Y}_t) \quad (9)$$

$$\bar{k}_t = \check{k}_t - \check{\mu}_t \check{\kappa}_t^{-1} \check{\mu}_t^T \quad (10)$$

Для вычисления интегралов вида

$$I = \int_{R^N} f(x) \mathcal{N}(x, m, k) dx,$$

где  $f(x)$  - некоторая гладкая функция, а  $\mathcal{N}(x, m, k)$  - гауссовская квадратура (плотность гауссовского распределения со средним  $m$  и невырожденной ковариационной матрицей  $k$ ), в СКФ (формулы (4) - (10)) используются квадратуры Гаусса-Эрмита

$$H_n(x) = (-1)^n e^{x^2} \frac{d^n}{dx^n} e^{-x^2},$$

где  $x_i, i = 1, \dots, n$  - корни, а  $w_i = \frac{2^{n-1} n! \sqrt{\pi}}{n^2 (H_{n-1}(x_i))^2}$  - соответствующие веса.

В  $N$ -мерном случае для полиномов Гаусса - Эрмита порядка  $n$  приближённое вычисление будет выглядеть так:

$$I \approx \pi^{-N/2} \sum_{i_1=1}^n \dots \sum_{i_N=1}^n w_{i_1} \dots w_{i_N} f(k^{\frac{1}{2}} [x_{i_1}, \dots, x_{i_N}]^T + [m_1, \dots, m_N]^T)$$

В этой задаче

- $N = 4 : [x_1, x_2, \theta_1, \theta_2]^T$
- $n = 3$
- $a_t(X) = f_t(X, u(t))$
- $A_t(X) = h_t(X, u(t))$

## 1.4 PF (boot)

Так как распределения компонент  $k$  и  $\beta$  - вырожденные (параметры константны и не меняются со временем), то просто так фильтром пользоваться не получится. Чтобы с этим бороться прибавим к данным дополнительную матрицу с шумом:

$$\begin{bmatrix} 0 & 0 & 0 & 0 \\ 0 & 0 & 0 & 0 \\ 0 & 0 & 0.2 & 0 \\ 0 & 0 & 0 & 0.02 \end{bmatrix}$$

Итого, бутстреп-фильтр имеет следующий вид:

$$\Theta(x_t|x_0, \dots, x_{t-1}; y_{\delta_3}, \dots, y_t) = \pi(x_t|x_{t-1}) \sim \mathcal{N}(f_t(x_{t-1}), QQ^T),$$

а весовые коэффициенты пересчитываются так:

$$\tilde{w}_t^{(i)} = \pi(Y_t|X_t^{(i)})w_{t-1}^{(i)}, \quad \pi(Y_t|X_t^{(i)}) \sim \mathcal{N}(h_t(X_t^{(i)}), R^2)$$

$$w_t^{(i)} = \frac{\tilde{w}_t^{(i)}}{\sum_{j=1}^N \tilde{w}_t^{(j)}}$$

## 2 Расчётная часть

### 2.1 Значения параметров

Параметры системы (не в точности как в статье, чтобы масштаб на графиках был лучше):

$$m = 0.04 \text{ кг}, \quad k_0 = 970 \frac{\text{Н} \times \text{м}}{\text{с}}, \quad \beta_0 = 0.4 \frac{\text{Н}}{\text{м}}$$

Параметры внешнего воздействия  $u(t) = A \sin(\omega t)$ :

$$A = 0.1, \quad \omega = 30$$

Параметры начального состояния (согласно статье допустимы любые параметры для  $x_1$  и  $x_2$ , кроме  $x_1 = x_2 = 0$  - случая, когда система статична):

$$X_0 = \begin{bmatrix} 0 \\ 5 \\ 500 \\ 15 \end{bmatrix}, \quad \hat{X}_0 = \begin{bmatrix} 0 \\ 4 \\ 450 \\ 10 \end{bmatrix}, \quad \hat{P}_0 = \begin{bmatrix} 0.001^2 & 0 & 0 & 0 \\ 0 & 1^2 & 0 & 0 \\ 0 & 0 & 50^2 & 0 \\ 0 & 0 & 0 & 5^2 \end{bmatrix}$$

Параметры шума:

$$q = 0.01, \quad R = 0.5$$

Моделирование выполнено со следующими шагами по времени ( $\Delta t = 0.5$  с):

$\delta_1 = \frac{\Delta t}{10^6}$  - шаг, с которым моделируется "непрерывная" траектория;  
 $\delta_2 = \frac{\Delta t}{10^4}$  - шаг, который применяется в алгоритмах фильтрации для прогноза;  
 $\delta_3 = \frac{\Delta t}{10^2}$  - шаг, с которым поступают наблюдения.

Количество частиц в PF:  $N = 1000$ .

### 2.2 Сравнение результатов расчётов

На графиках (2), (3), (4) и (5) приведены значения параметров  $x(t)$ ,  $\dot{x}(t)$ ,  $k$  и  $\beta$ , полученные разными способами. Траектории достаточно хорошо совпадают (особенно для первых двух компонент).

Посмотрим подробнее на соответствующие графики ошибок: (6) - (13) (так как тривиальные оценки имеют много большие ошибки по сравнению с другими методами, то для каждого параметра график сначала приведён полностью, а потом в другом масштабе, чтобы были видны отличия фильтров). Как видно, наилучший результат показывает СКФ, PF (boot) работает несколько хуже, а тривиальная оценка, очевидно, имеет огромную погрешность (на порядок больше остальных).

Аналогичные выводы можно сделать по графикам с выборочными ошибками (результаты получены по нерасходящимся траекториям из пучка в 10000 траекторий): (14), (15), (16) и (17).

Более строго выводы подтверждаются данными из таблицы 1. При этом можно заметить, что для параметра  $x_2$  доля расходящихся траекторий у СКФ выше.

Метод	Параметр	Доля расх. траекторий	СКО $t = 0.25$ с	СКО $t = 0.5$ с
Трив. оценка	$x_1$	0.01	0.00692219	0.00015079
	$x_2$	0.13	0.18217142	0.21481203
	$k$	0	50	50
	$\beta$	0	5	5
СКФ	$x_1$	0	0.00005339	0.00003136
	$x_2$	0.05	0.00889350	0.00926300
	$k$	0	0.86446479	0.58702221
	$\beta$	0	0.04399797	0.02256929
PF (boot)	$x_1$	0.03	0.00039594	0.00010413
	$x_2$	0.01	0.02200189	0.01085255
	$k$	0.02	13.8392319	1.79883389
	$\beta$	0.02	0.54218990	0.19274808

Таблица 1: Сравнение методов

## 2.3 Выводы

Таким образом,

1. и СКФ, и PF(boot) лучше тривиальной оценки;
2. у СКФ лучшее качество (при условии сходимости траекторий), причём такой фильтр требует существенно меньше вычислительных ресурсов, чем PF (boot).

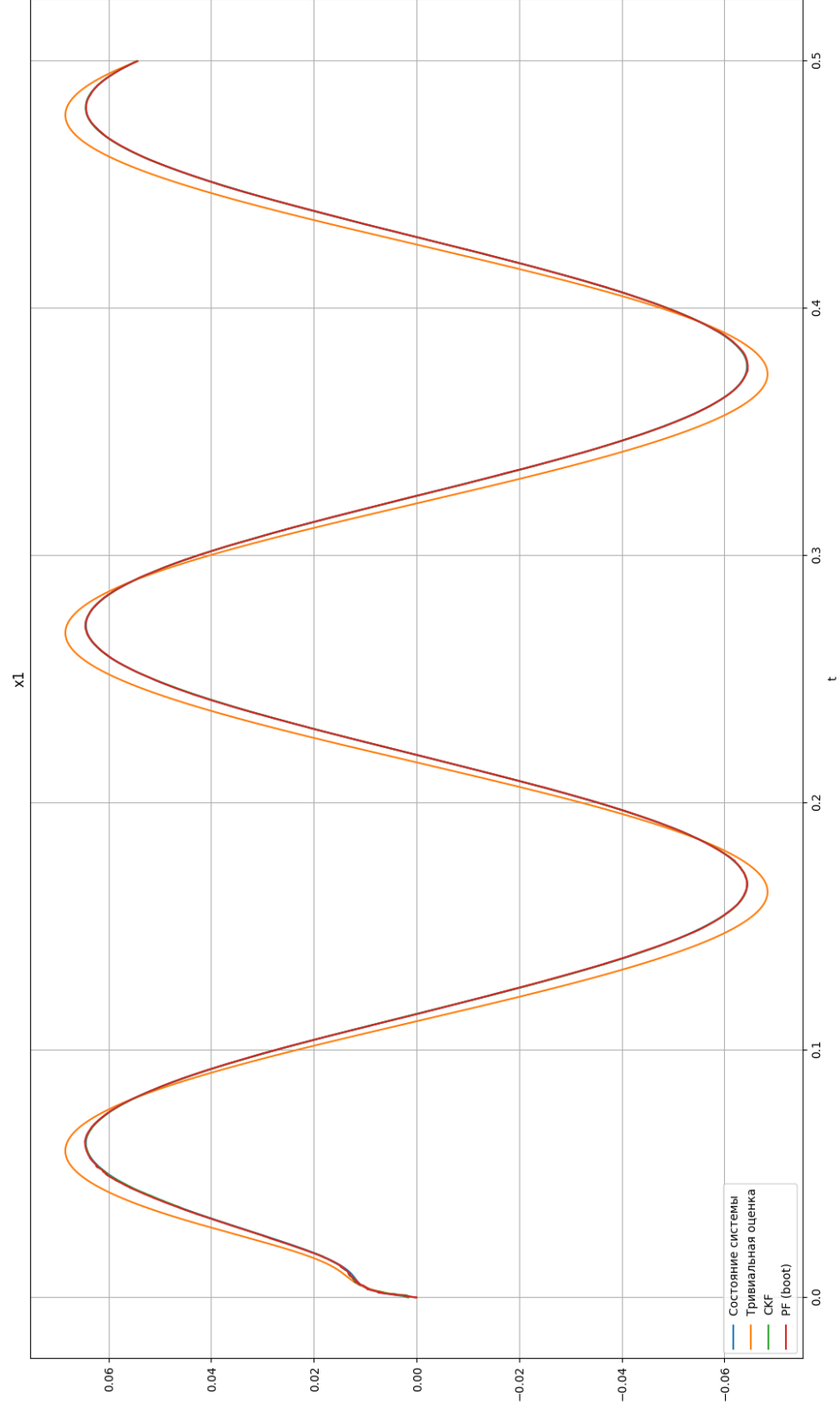


Рис. 2: Значение параметра  $x_1$

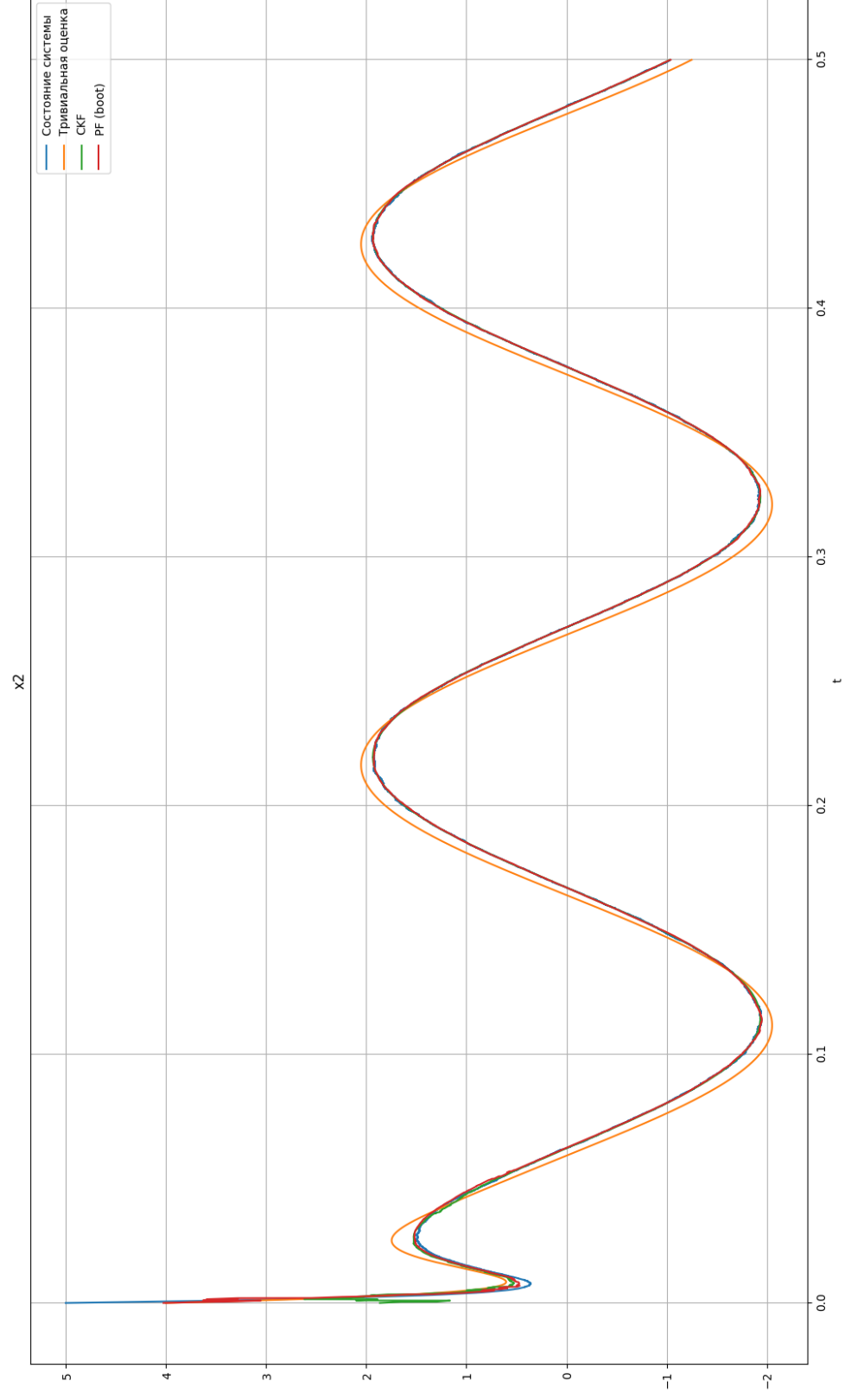


Рис. 3: Значение параметра  $x_2$



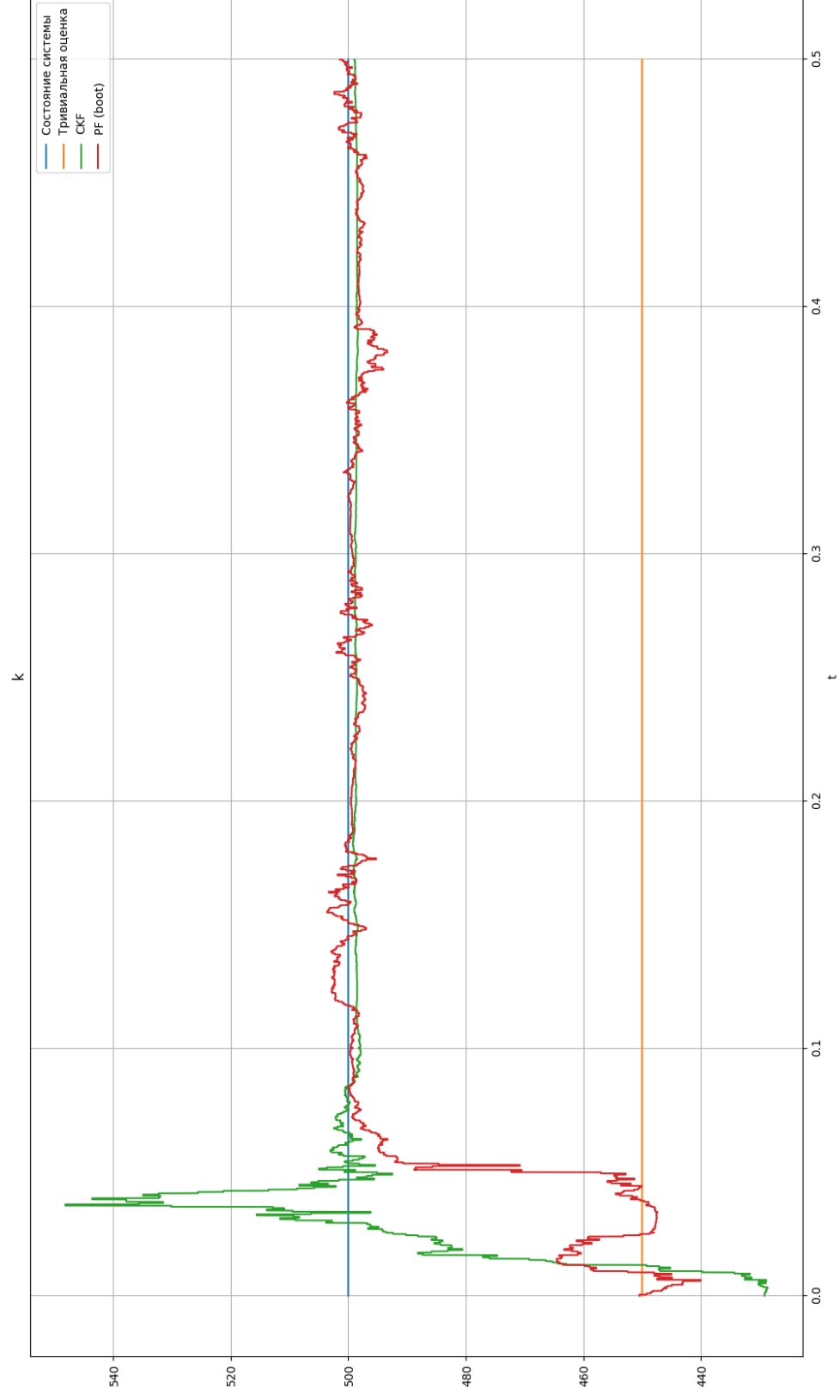


Рис. 4: Значение параметра  $k$

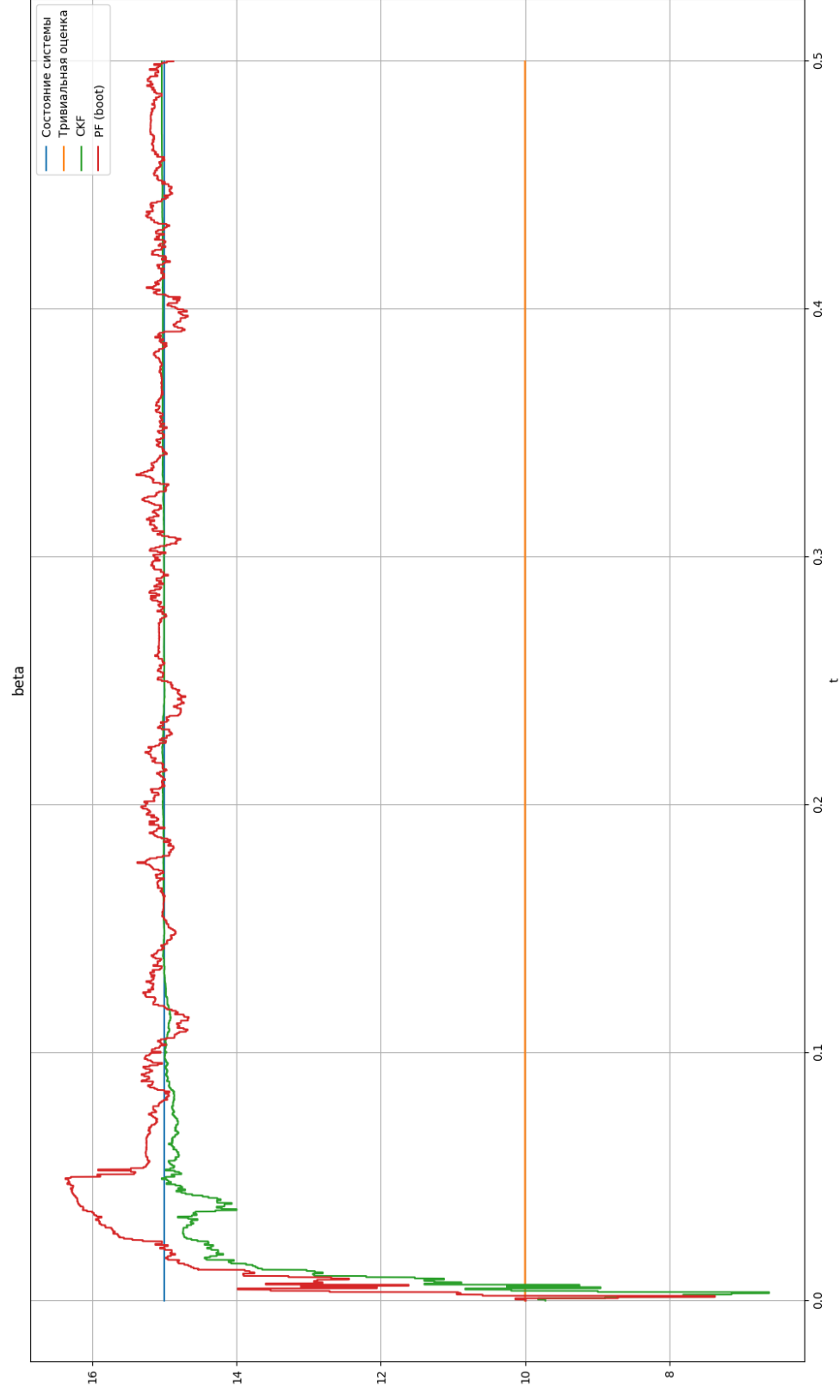


Рис. 5: Значение параметра  $\beta$

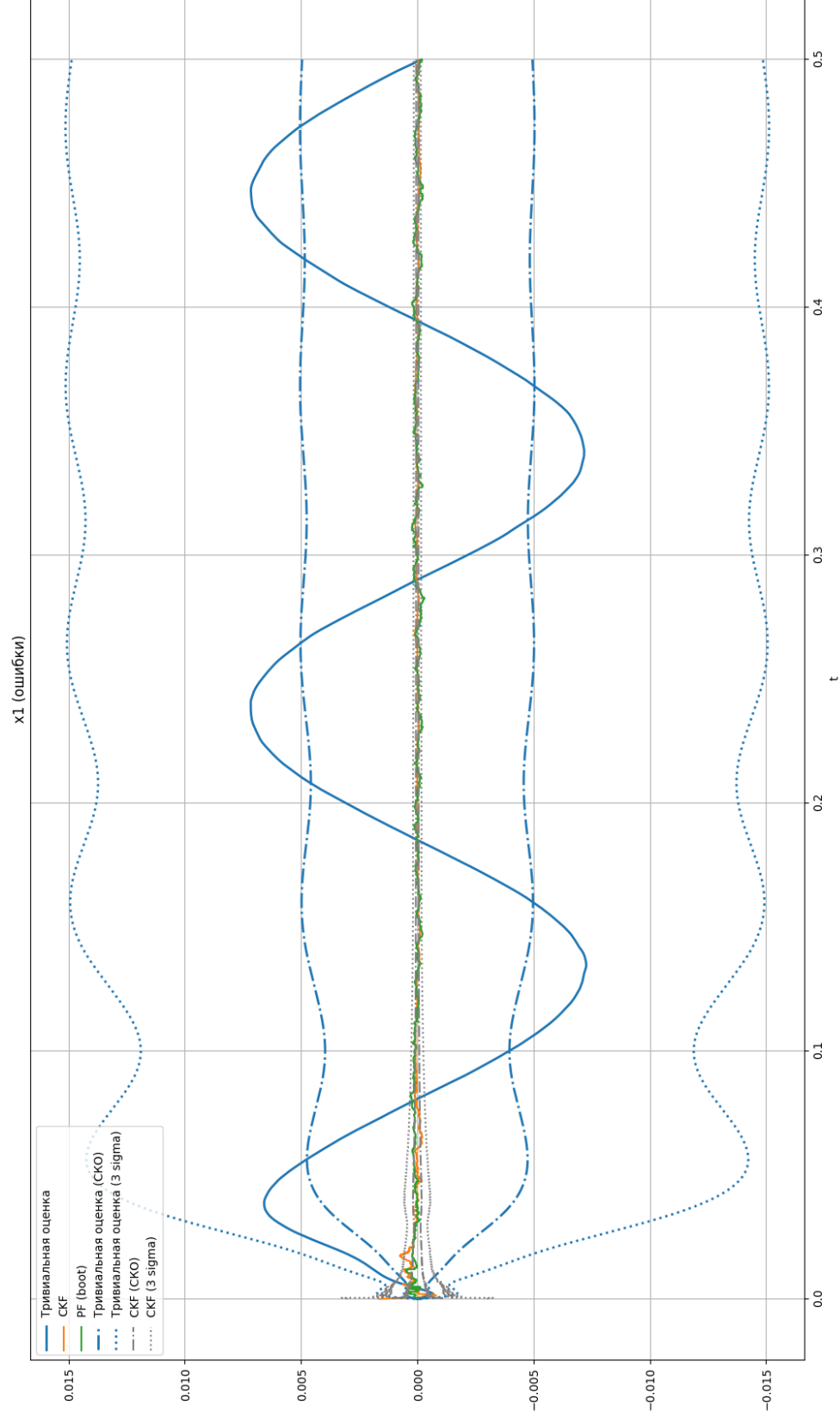


Рис. 6: Ошибки оценивания  $x_1$

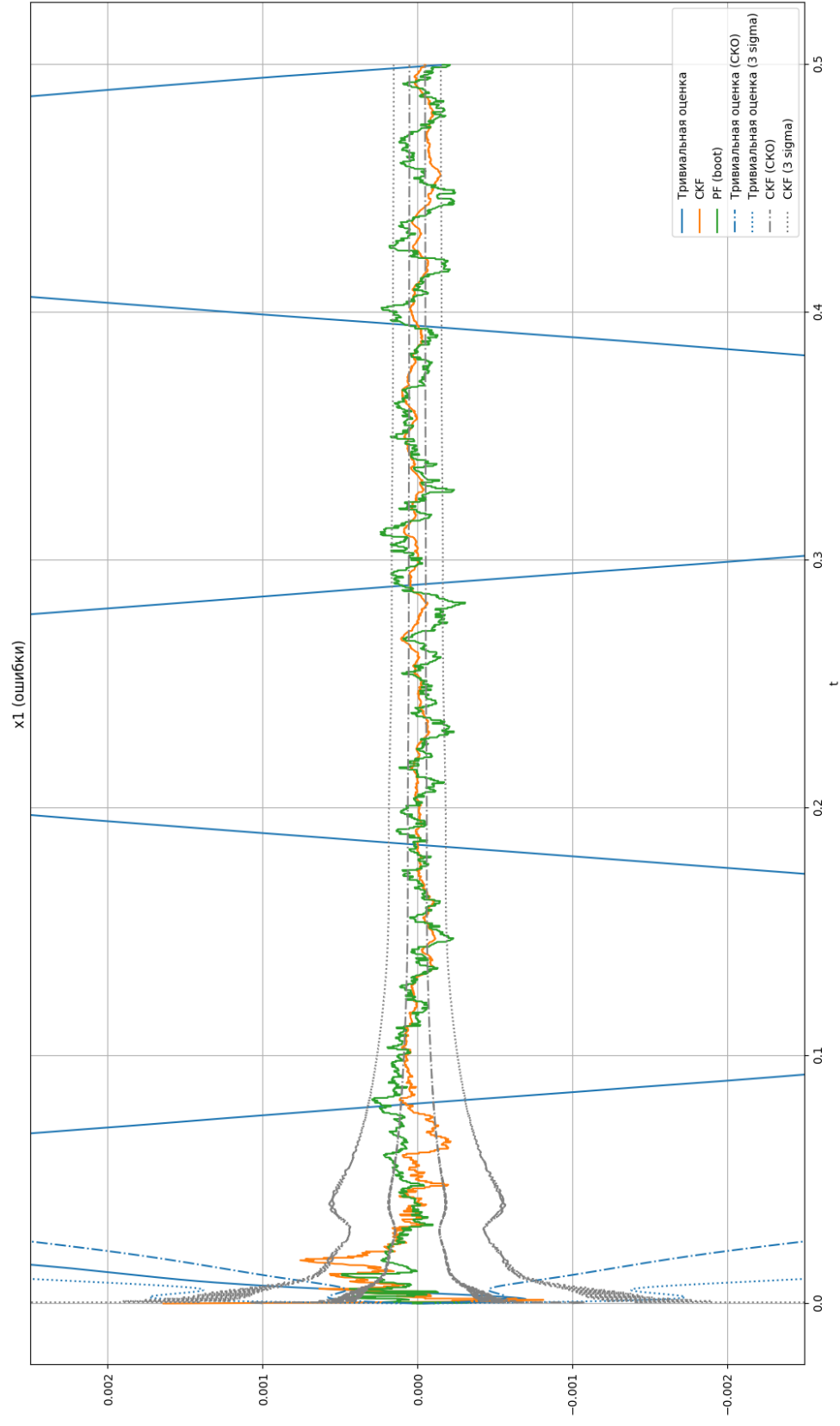


Рис. 7: Ошибки оценивания  $x_1$  (другой масштаб)

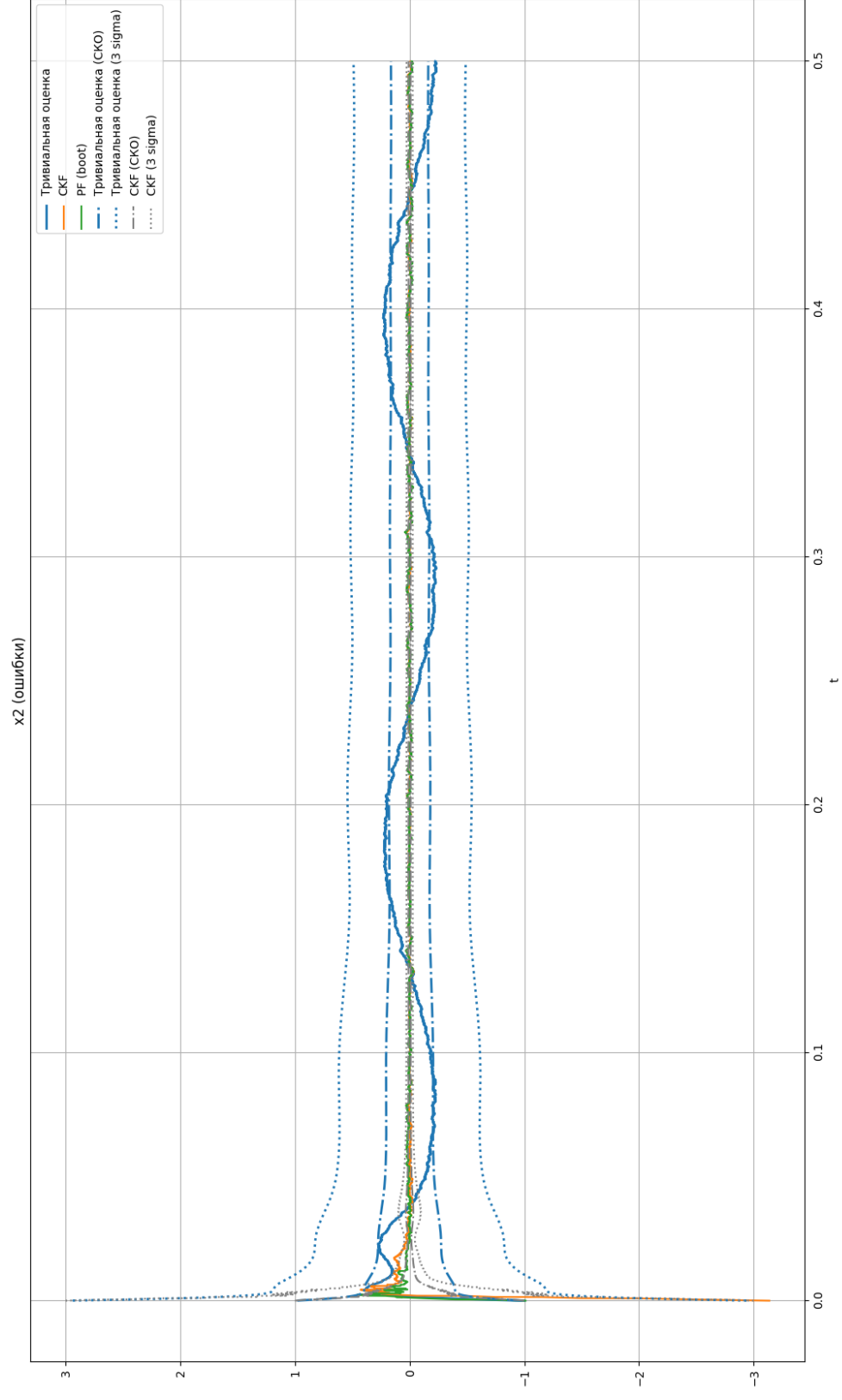


Рис. 8: Ошибки оценивания  $x_2$

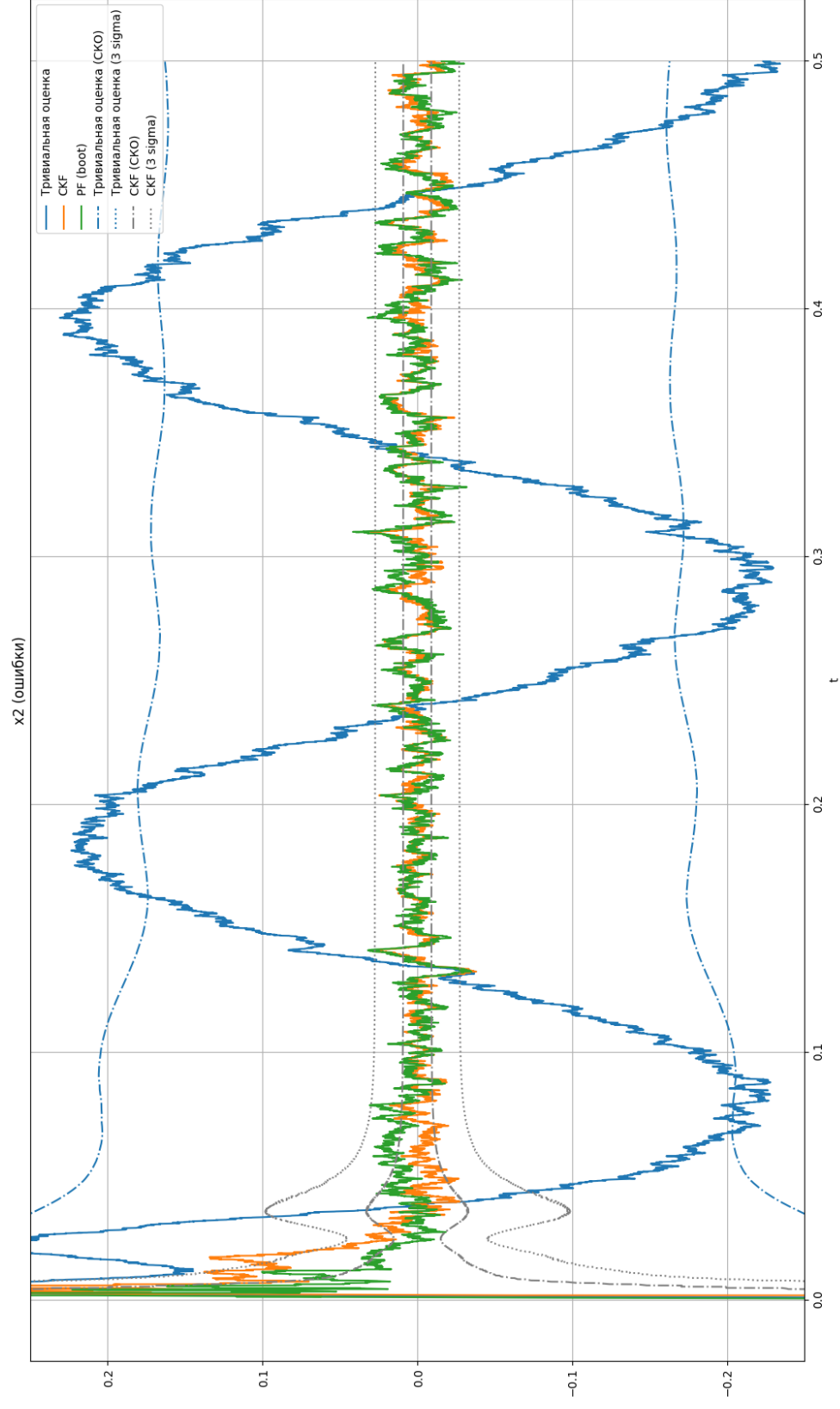


Рис. 9: Ошибки оценивания  $x_2$  (другой масштаб)

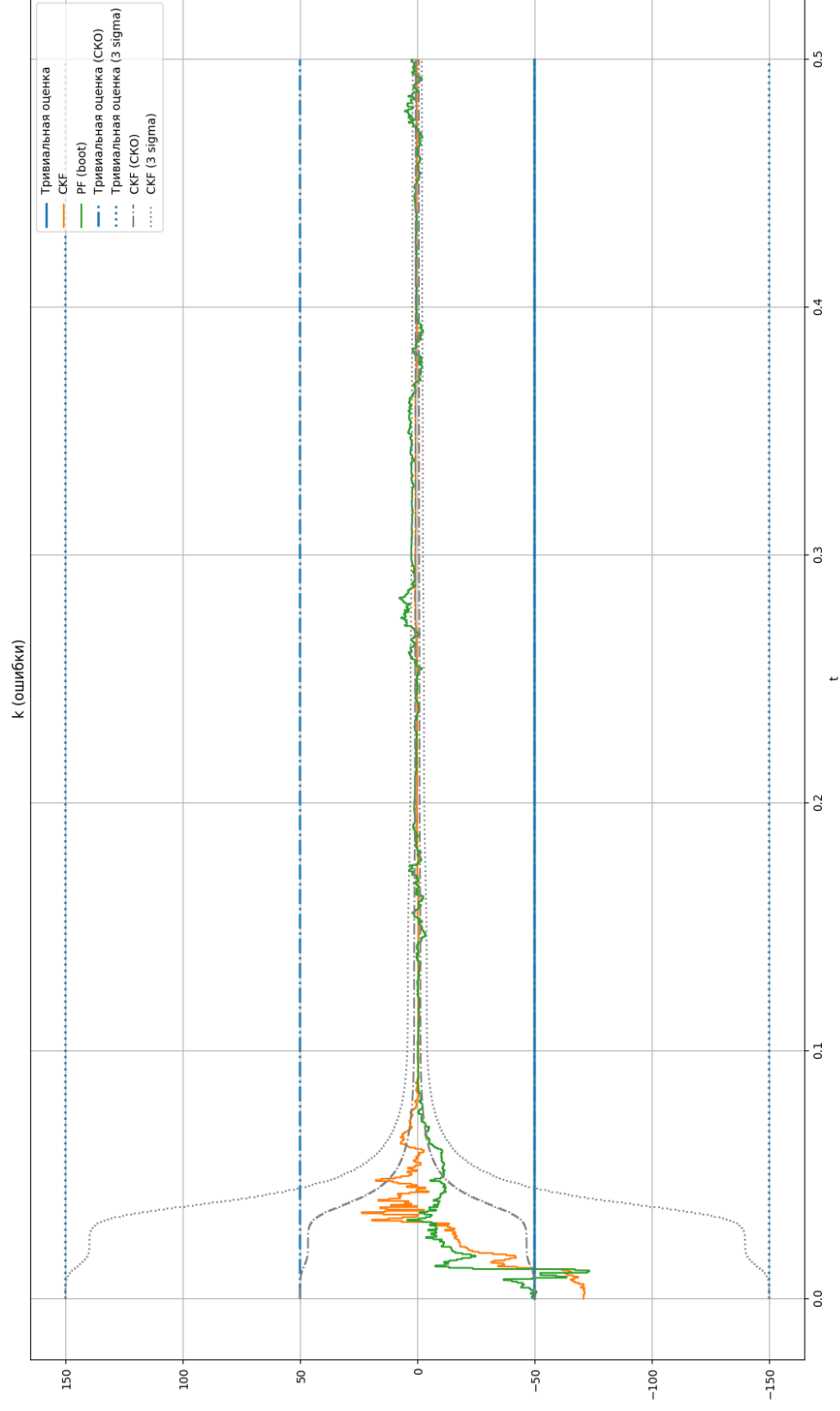


Рис. 10: Ошибки оценивания  $k$

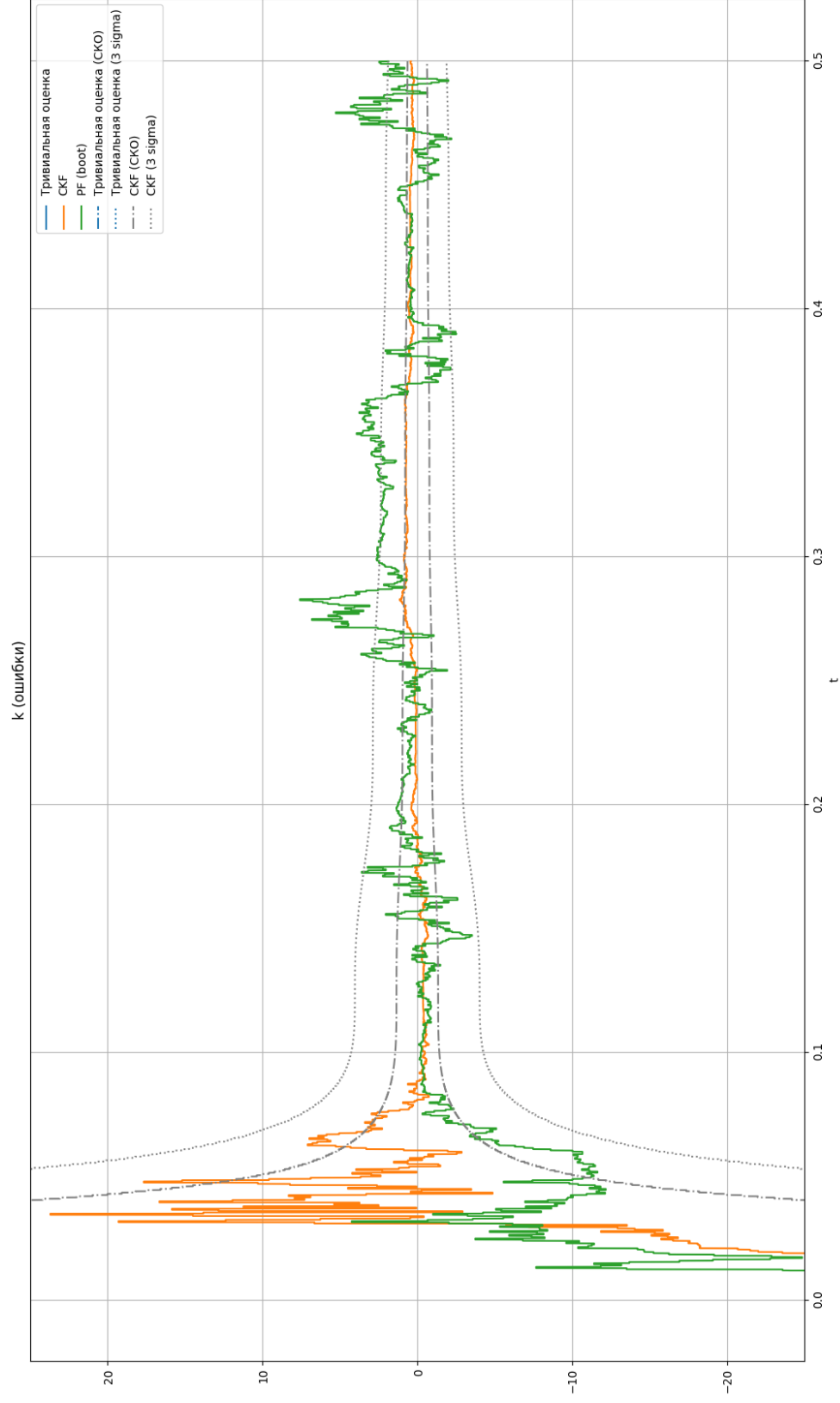


Рис. 11: Ошибки оценивания  $k$  (Другой масштаб)



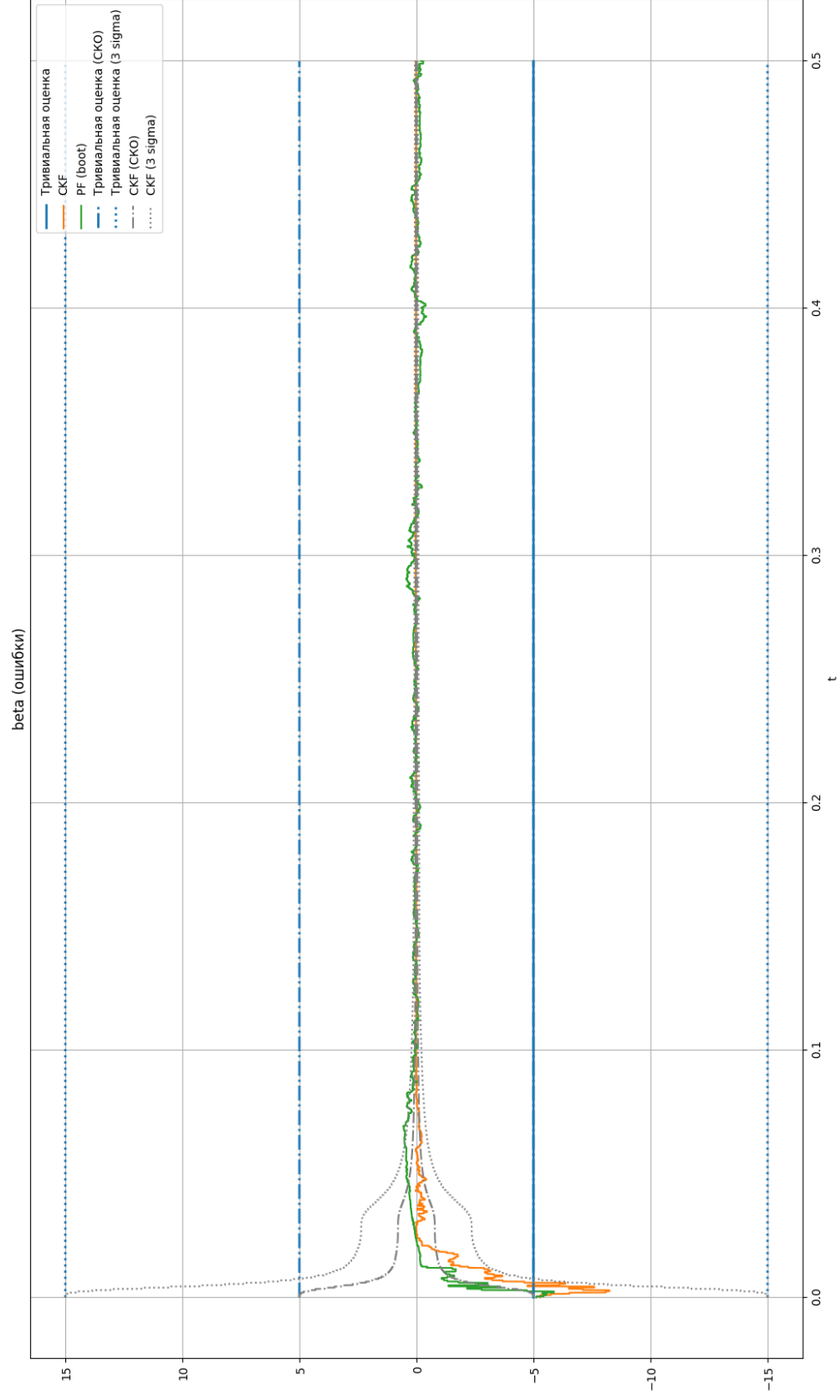


Рис. 12: Ошибки оценивания  $\beta$

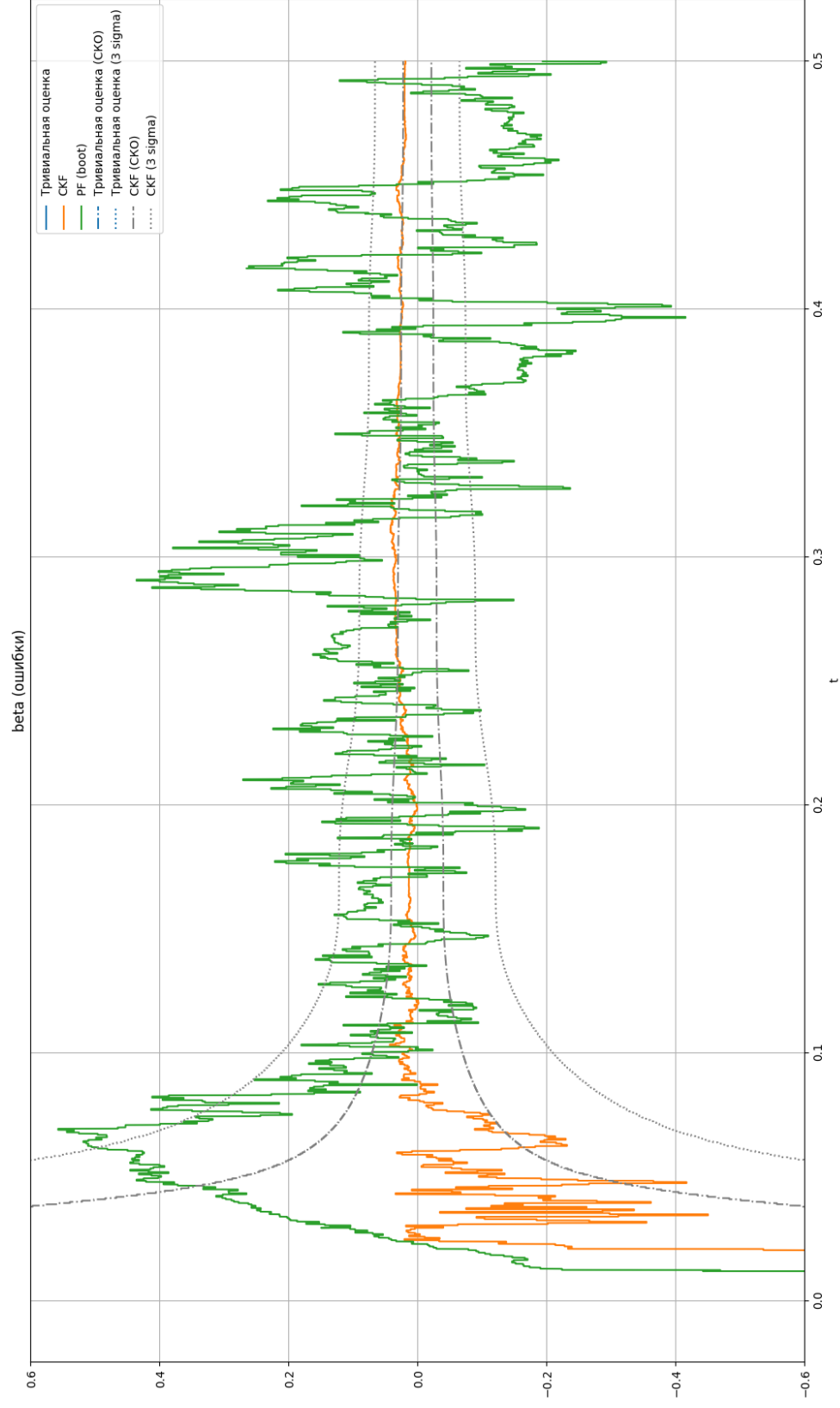


Рис. 13: Ошибки оценивания  $\beta$  (другой масштаб)

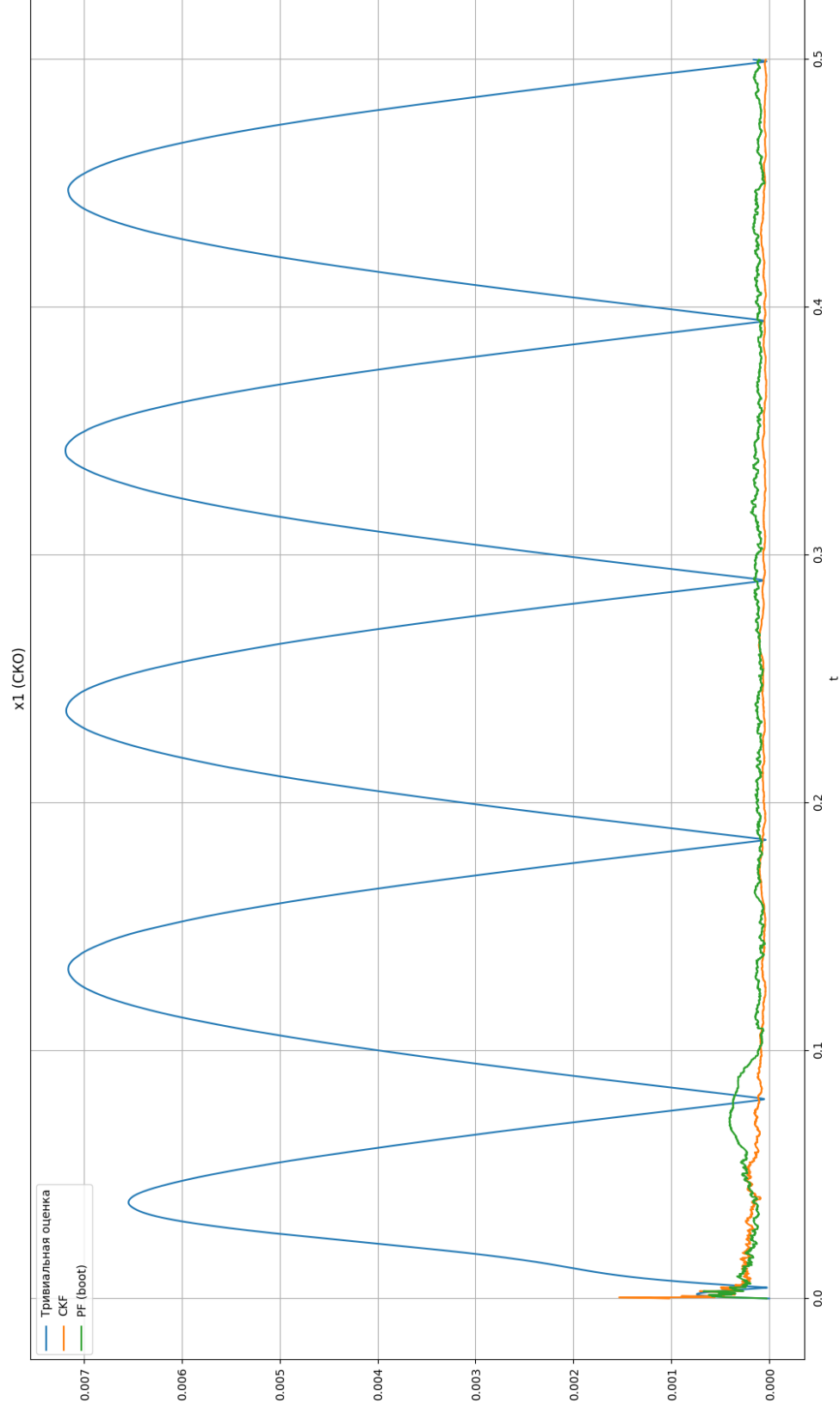


Рис. 14: Истинные выборочные СКО ошибок оценивания  $x_1$

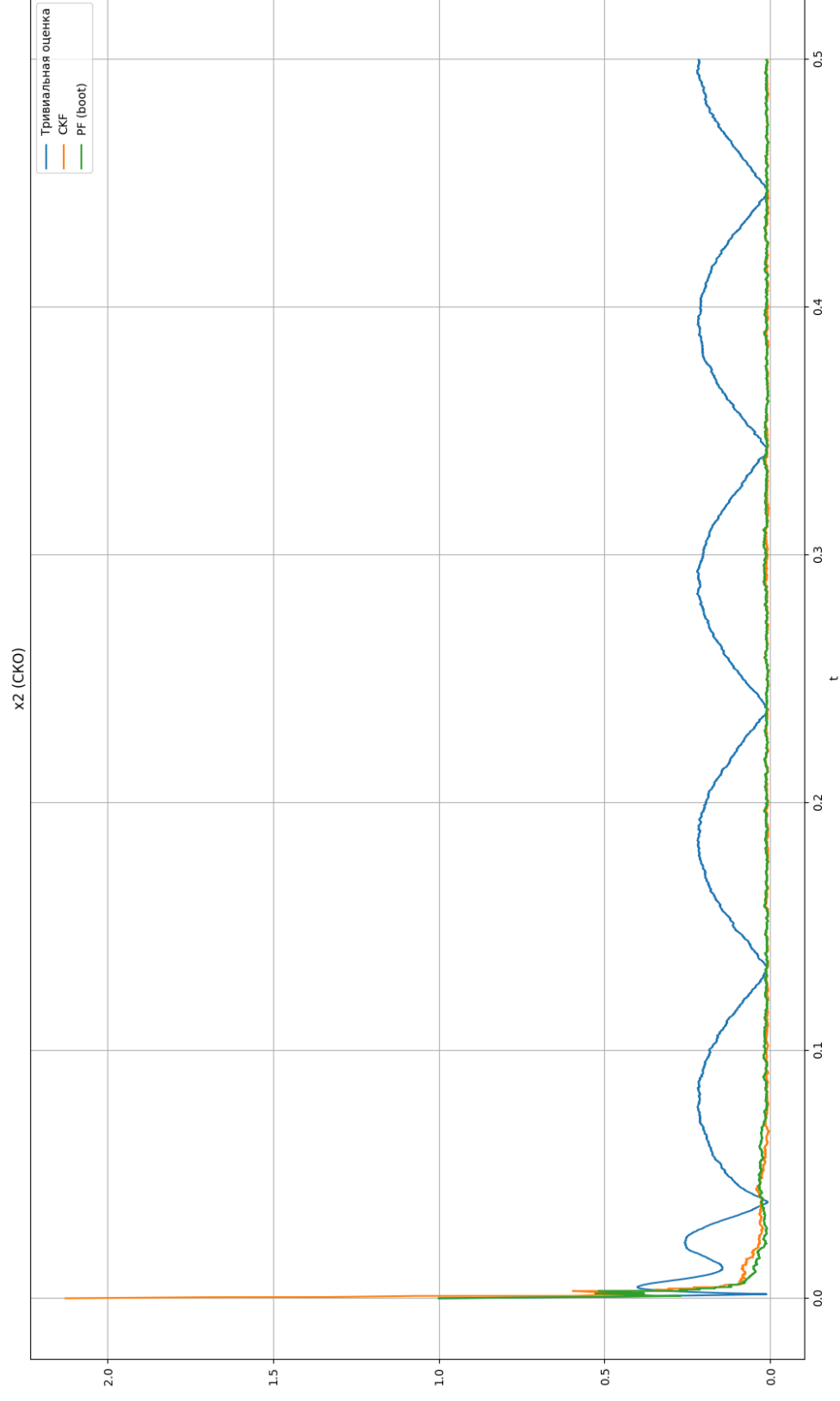


Рис. 15: Истинные выборочные СКО ошибок оценивания  $x_2$

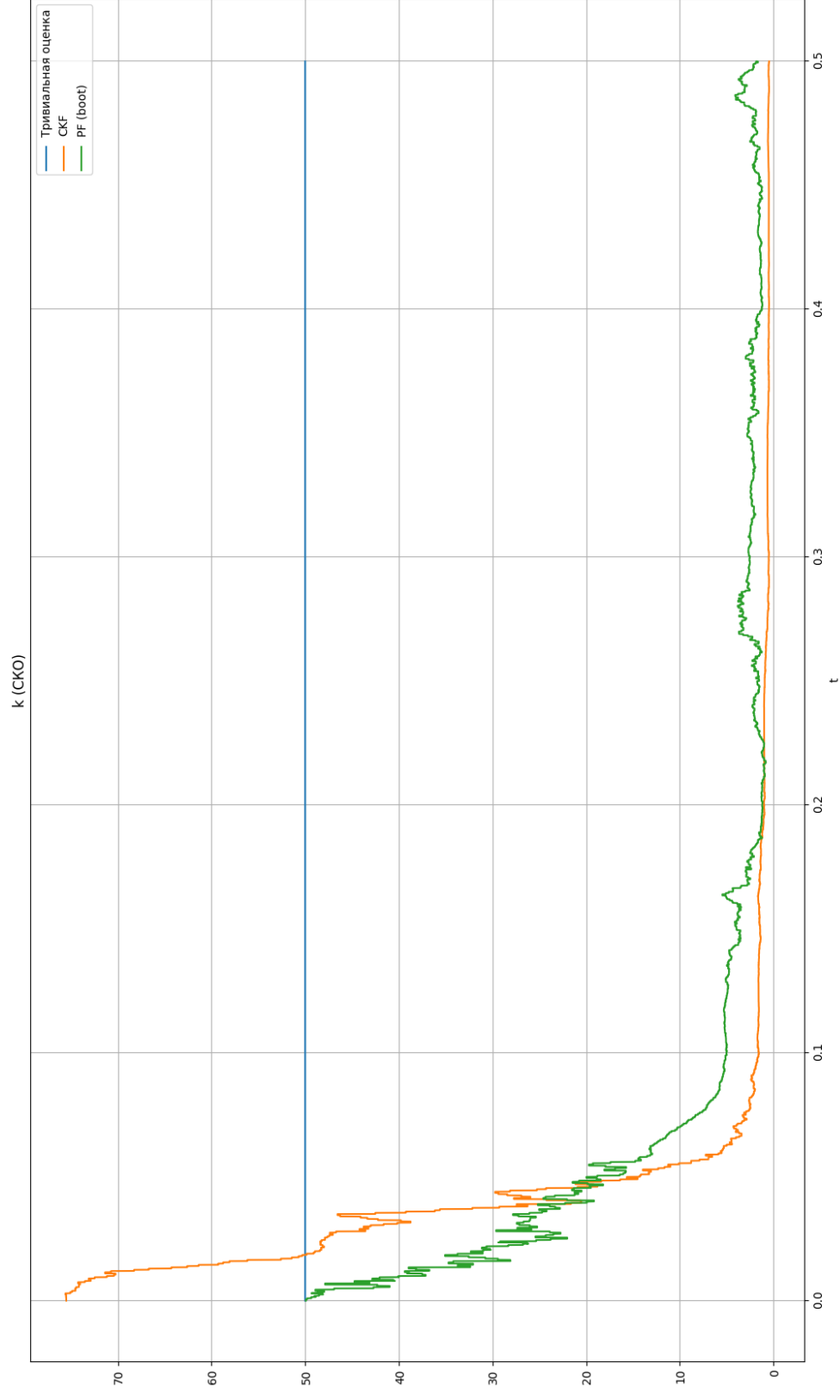


Рис. 16: Истинные выборочные СКО ошибок оценивания  $k$

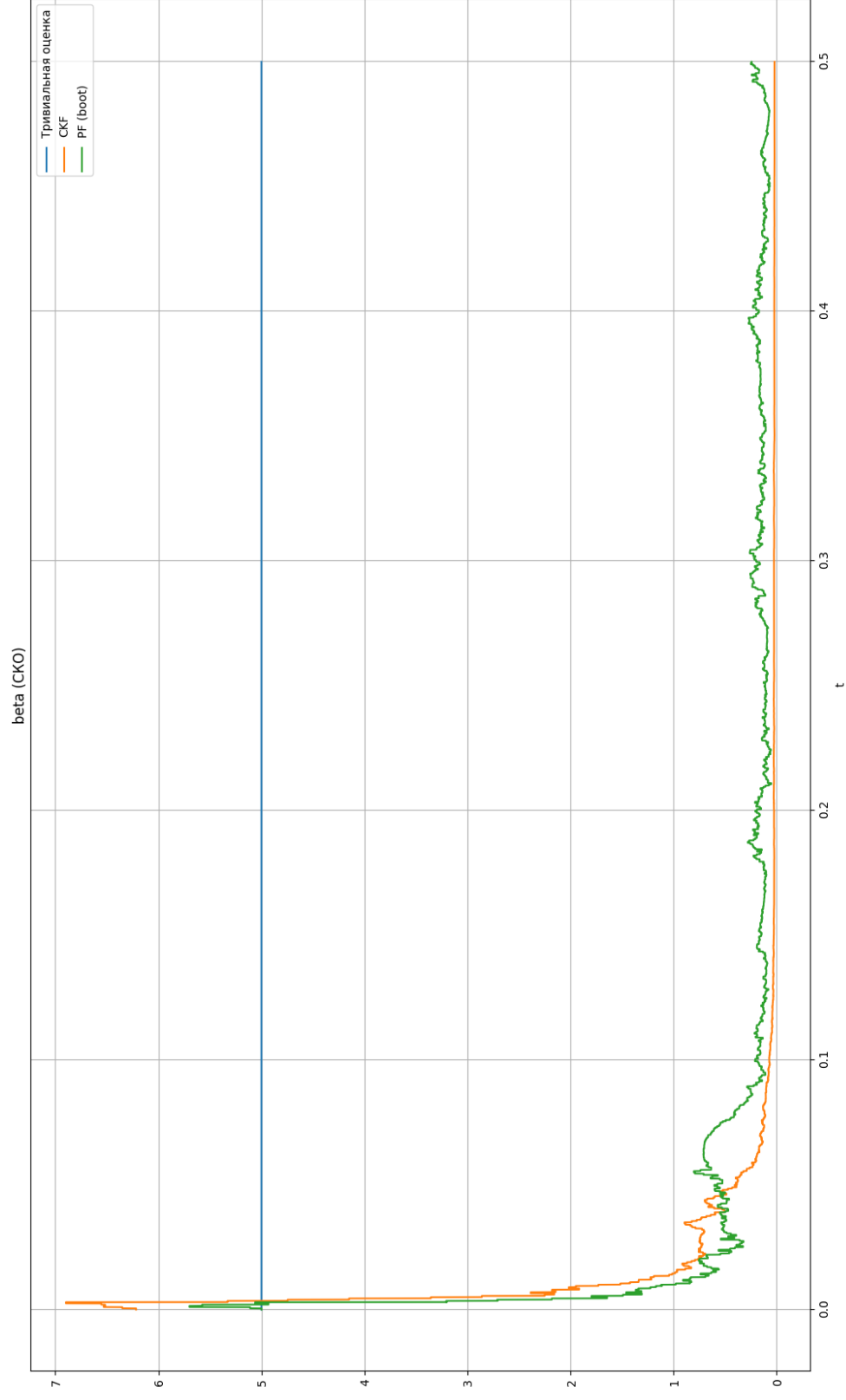


Рис. 17: Истинные выборочные СКО ошибок оценивания  $\beta$

## 3 Приложение

### 3.1 Модель

```
class ToolTissueModel():
    def __init__(self, \
        m = 0.04, k0 = 970, b0 = 0.4, \
        u_params = (0.1, 30), \
        T = 0.5, num_obs = 1000, pred_per_obs = 10, \
        init_state = np.array([0, 5, 500, 15]), \
        noise_params = (1e-2, 5e-1)):
        self.m, self.k0, self.b0 = m, k0, b0

        assert len(u_params) == 2, '2 params: A, w'
        self.A, self.w = u_params

        self.T = T
        self.num_obs = num_obs
        self.pred_per_obs = pred_per_obs
        self.cont_step = T / (num_obs * pred_per_obs ** 2)
        self.pred_step = T / (num_obs * pred_per_obs)
        self.obs_step = T / num_obs

        self.init_state = init_state

        assert len(noise_params) == 2, '2 params: Q, R'
        self.Q, self.R = noise_params

        self.cont_states = None
        self.filt_states = None
        self.observe = None

    def u(self, t):
        return self.A * np.sin(self.w * t)

    def f_func(self, x, t, time_step):
        return np.array([
            x[0] + time_step * x[1],
            x[1] + time_step / self.m * \
                (self.k0 * (self.u(t) - x[0]) + \
                 self.b0 * ((self.u(t) - self.u(t - time_step)) / \
                             time_step - x[1])) - \
                x[2] * x[0] - x[3] * x[1]),
            x[2],
            x[3]
        ])
```

```

def h_func(self, x, t):
    return self.k0 * (x[0] - self.u(t))

def generate_states(self):
    states = [self.init_state]
    state_noises = stats.norm(loc=0, scale=self.Q / self.m * \
        (self.cont_step) ** 0.5).rvs(size=self.num_obs * \
        self.pred_per_obs ** 2)
    for cur_time, noise in tqdm(zip(np.linspace(0, self.T, \
        self.num_obs * self.pred_per_obs ** 2 + 1)[: -1], \
        state_noises)):
        states.append(self.f_func(states[-1], cur_time, \
            self.cont_step) + np.array([0, noise, 0, 0]))
    self.cont_states = np.array(states)
    self.filt_states = np.array(states[:, :int(self.pred_step / \
        self.cont_step)])

def generate_states_for_filt(self):
    states = [self.init_state]
    state_noises = stats.norm(loc=0, scale=self.Q / self.m * \
        self.pred_step ** 0.5).rvs(size=self.num_obs * \
        self.pred_per_obs)
    for cur_time, noise in zip(np.linspace(0, self.T, \
        self.num_obs * self.pred_per_obs + 1)[: -1], \
        state_noises):
        states.append(self.f_func(states[-1], cur_time, \
            self.pred_step) + np.array([0, noise, 0, 0]))
    self.filt_states = np.array(states)

def generate_obs(self):
    assert not (self.filt_states is None), 'No states?'
    obs_noises = stats.norm(loc=0, \
        scale=self.R).rvs(size=self.num_obs)
    obs = []
    for cur_time, noise, state in zip(np.linspace(self.obs_step, \
        self.T, self.num_obs), obs_noises, \
        self.filt_states[self.pred_per_obs::self.pred_per_obs]):
        obs.append(self.h_func(state, cur_time) + noise)
    self.observ = np.array(obs)

```

## 3.2 Тривиальная оценка

```

class TrivialFilter():
    def __init__(self, dyn_system, \
        init_mean = np.array([0, 4, 450, 10])):

```



```

        self.all_states = [init_mean]
        self.system = dyn_system
        self.T = self.system.T
        self.time_step = self.system.pred_step

    def step(self, cur_time):
        self.all_states.append(self.system.f_func(self.all_states[-1], \
            cur_time, self.time_step))

    def train(self):
        for cur_time in np.linspace(0, self.T, self.system.num_obs * \
            self.system.pred_per_obs + 1)[: -1]:
            self.step(cur_time)
        self.all_states = np.array(self.all_states)

```

### 3.3 CKF

```

def calc_int(m, k, f):
    I = 0
    n = 3
    w = [1/6, 2/3, 1/6]
    z = [-(3/2)**0.5, 0, (3/2)**0.5]
    k = sqrtm(k + 0.0001 * np.eye(4))
    for i1 in range(n):
        for i2 in range(n):
            for i3 in range(n):
                for i4 in range(n):
                    tmp = np.array(f(k @ np.array([z[i1], z[i2], z[i3], z[i4]]), \
                        m, k))
                    tmp *= w[i1] * w[i2] * w[i3] * w[i4]
                    I += tmp
    return I

class CubatureKalmanFilter:
    def __init__(self, dyn_system, \
        init_st_for_filt = np.array([0, 4, 450, 10]), \
        k_0 = np.diag(np.array([0, 0.01 / 0.5, 1.0, 1.0])) \
        ** 0.5 * 0.03):
        self.system = dyn_system
        self.time_step = self.system.pred_step
        x0 = init_st_for_filt

        self.fit(x0, k_0)

    def a(self, x):
        time_step = self.time_step

```

```

m = self.system.m
k0 = self.system.k0
b0 = self.system.b0
t = self.cur_time
u = self.system.u(t)
u_prev = self.system.u(t - time_step)

ax = np.zeros(4)
ax[0] = x[0] + time_step * x[1]
ax[1] = x[1] + time_step / m * (k0 * (u - x[0]) + b0 * \
((u - u_prev) / time_step - x[1]) - x[2] * x[0] - x[3] * x[1])
ax[2] = x[2]
ax[3] = x[3]
return ax

def A(self, x):
    k0 = self.system.k0
    t = self.cur_time
    u = self.system.u(t)
    return k0 * (x[0] - u)

def fit(self, x0, k_0):
    s = self.system.pred_per_obs
    k_tot = self.system.observ.shape[0] * 10

    x_wide = np.zeros((k_tot + 1, 4))
    y_wide = np.zeros(k_tot + 1)
    x_line = np.zeros((k_tot + 1, 4))
    k_line_diag = np.zeros((k_tot + 1, 4))

    x_wide[0] = x0
    x_line[0] = x0
    X_line = x0
    k_line = k_0

    b = np.diag(np.array([0, 0.01 / 0.5, 1.0, 1.0])) ** 0.5 * 0.03
    B = np.diag([self.system.R]) ** 0.5 * 0.03

    i=1

    for ind, cur_time in enumerate(np.linspace(self.time_step, \
        self.system.T, self.system.num_obs * \
        self.system.pred_per_obs)):
        k = ind + 1

        self.cur_time = cur_time

```

```

X_wide = np.array(calc_int(f = self.a, m = X_line, \
    k=k_line))
x_wide[ind] = X_wide

def aat(x):
    self.cur_time = cur_time
    tmp = np.array(self.a(x) - X_wide).reshape((-1, 1))
    return tmp @ tmp.T

k_wide = calc_int(f = aat, m = X_line, k = k_line) + \
    b @ b.T

self.cur_time = cur_time
Y_wide = calc_int(f = self.A, m = X_wide, k = k_wide)
y_wide[k] = Y_wide

def AAt2(x):
    self.cur_time = cur_time
    tmp = np.array(self.A(x) - Y_wide).reshape((-1, 1))
    return tmp @ tmp.T

def xA(x):
    tmp1 = (x - X_wide).reshape((4, 1))
    self.cur_time = cur_time
    tmp2 = (self.A(x) - Y_wide).reshape((-1, 1))
    return tmp1 @ tmp2

if k % s == 0:
    i += 1

    kappa_wide = np.array(calc_int(f = AAt2, m = X_wide, \
        k = k_wide) + B @ B.T)
    mu_wide = np.array(calc_int(f = xA, m = X_wide, \
        k = k_wide))

    X_line = X_wide + (mu_wide @ \
        np.linalg.pinv(kappa_wide) @ \
        np.array(self.system.observ[ind // s] - \
            Y_wide).reshape(1))
    k_line = k_wide - mu_wide @ \
        np.linalg.pinv(kappa_wide) @ mu_wide.T

    x_line[i] = X_line
    k_line_diag[i] = np.diag(k_line)
else:
    X_line = X_wide

```

```

        k_line = k_wide

    print(i)

    self.x_line = x_line
    self.x_wide = x_wide

    self.y_wide = y_wide
    self.k_line = k_line_diag

```

### 3.4 PF (boot)

```

class ParticleFilter_boot():
    def __init__(self, dyn_system, \
        init_mean = np.array([0, 4, 450, 10]), \
        init_cov = np.diag([0.001, 1, 50, 5]) ** 2, \
        n_particles = 1000):
        self.system = dyn_system
        self.time_step = self.system.pred_step
        self.state_noise_matr = np.diag([self.system.Q / \
            self.system.m * self.time_step ** 0.5, init_cov[2, 2] ** \
            0.5 / 100, init_cov[3, 3] ** 0.5 / 100])
        self.all_obs = self.system.observe
        self.n_particles = n_particles
        self.weights = np.repeat(1 / n_particles, n_particles)
        self.particles = stats.multivariate_normal(mean=init_mean, \
            cov=init_cov).rvs(size=self.n_particles)
        self.all_states = [np.sum(self.weights[:, np.newaxis] * \
            self.particles, axis=0)]

    def generate_particles(self, cur_time):
        particles_mean = np.apply_along_axis(self.system.f_func, \
            axis=1, arr=self.particles, t=cur_time, \
            time_step=self.time_step)
        particles_noises = np.hstack((np.zeros(shape=(self.n_particles, 1), \
            stats.multivariate_normal(mean=np.zeros \
            (shape=(self.state_noise_matr.shape[0], )), \
            cov=self.state_noise_matr ** 2).rvs(size=self.n_particles)))
        self.particles = particles_mean + particles_noises

    def update_weights(self, cur_obs, cur_time):
        obs_func_res = np.apply_along_axis(self.system.h_func, axis=1, \
            arr=self.particles, t=cur_time)
        self.weights = stats.norm(loc=cur_obs, \
            scale=self.system.R).pdf(obs_func_res) * \
            self.weights

```

```

self.weights /= np.sum(self.weights)

def check_eff(self):
    return 1 / np.sum(self.weights ** 2) > self.n_particles / 10

def particles_step(self, cur_time):
    self.particles = np.apply_along_axis(self.system.f_func, \
        axis=1, arr=self.particles, t=cur_time, \
        time_step=self.time_step)
    self.all_states.append(np.sum(self.weights[:, np.newaxis] * \
        self.particles, axis=0))

def correct(self, cur_obs, cur_time):
    self.generate_particles(cur_time - self.time_step)
    self.update_weights(cur_obs, cur_time)
    self.all_states.append(np.sum(self.weights[:, np.newaxis] * \
        self.particles, axis=0))
    if not self.check_eff():
        self.particles = \
            self.particles[np.random.choice(a=self.n_particles, \
                size=self.n_particles, p=self.weights)]
        self.weights = np.repeat(1 / self.n_particles, \
            self.n_particles)

def step(self, cur_time, ind):
    if ind % self.system.pred_per_obs:
        self.particles_step(cur_time - self.time_step)
    else:
        self.correct(self.all_obs[ind // \
            self.system.pred_per_obs - 1], cur_time)

def train(self):
    for ind, cur_time in enumerate(np.linspace(self.time_step, \
        self.system.T, self.system.num_obs * \
        self.system.pred_per_obs)):
        self.step(cur_time, ind + 1)
    self.all_states = np.array(self.all_states)

```